

Formalismo à Temperatura finita: função de Green a tempo imaginário e frequências de Matsubara

Vamos agora estender o formalismo de função de Green, Teorema de Wick e Diagramas de Feynman para sistemas a temperatura finita. Ou seja, queremos calcular funções de correlações do tipo $f_{AB}(t, t', \beta) = \langle A(t) B(t') \rangle_\beta$ onde $\langle \dots \rangle$ será uma média térmica envolvendo estados excitados e não apenas :

$$f_{AB}(t, t', \beta) = \frac{1}{Z} \text{Tr}[\hat{\rho} \hat{A}(t) \hat{B}(t')] = \frac{1}{Z} \text{Tr}[e^{-\beta H} e^{iHt} \hat{A} e^{-iH(t-t')} \hat{B} e^{-iHt'}] \quad (\text{I})$$

(Heisenberg)

A questão é: se $\hat{H} = H_0 + H_I$, é possível calcular $f_{AB}(t, t', \beta)$ como uma expansão (temporalmemente ordenada) em $\hat{H}_I(t)$ (na rep de Interações $H_I(t) = e^{iHt} H_I e^{-iHt}$). Para $T=0$, a resposta é sim pois a matriz densidade passa a envolver apenas o estado fundamental, o termo $e^{-\beta H}$ "sobe" de (I). Para $T \neq 0$:

$$f_{AB}(t, t', \beta) = \frac{1}{Z} \text{Tr}[e^{-\beta H} U(0, t) \hat{A}(t) U(t, t') \hat{B}_I(t') U(t', 0)]$$

$$\left(\text{pois: } \begin{cases} U(t, t_0) = e^{iH_0 t} e^{-iH(t-t_0)} e^{-iH_0 t_0} \\ \hat{O}_H(t) = e^{iH_0 t} \hat{O} e^{-iH_0 t} \\ \hat{O}_I(t) = e^{iH_0 t} \hat{O} e^{-iH_0 t} \end{cases} \right) \Rightarrow \boxed{\hat{O}_H(t) = U(0, t) \hat{O}_I(t) U(t, 0)}$$

e, embora possamos expandir os "U(t, 0) etc" em ordens de $H_I(t)$, fica "sobrando" o $e^{-\beta H}$ (que não "entra" em $U(t, t')$),

(2)

Note que seria ótimo se pudéssemos "absorver" o $e^{-\beta \hat{H}}$ em $U(t,0)$: ficaríamos com uma expressão similar ao caso $T=0$.

O "truque" matemático para fazer isso é usar um "tempo imaginário"

$\tau = it$ ao invés do tempo real. Com isso, as exponenciais

$$e^{iHt} \text{ viram exponenciais "reais"} e^{H\tau} \quad e^{-\beta \hat{H} + it\hat{H}} = e^{H(\tau - \beta)}$$

Primeiramente, definimos a Representação de Heisenberg

tempo imaginários na forma:

$$\hat{A}_H^{\pm}(\tau) \equiv e^{\frac{H\tau}{2}} \hat{A} e^{-\frac{H\tau}{2}} \quad (\text{ou } A_H^{\pm}(\tau) = e^{\frac{+H\tau}{2}} A e^{-\frac{-H\tau}{2}})$$

Também definimos a Rep. de Interações $\hat{A}_I(-i\tau) = e^{\frac{H_0\tau}{2}} \hat{A} e^{-\frac{H_0\tau}{2}} \equiv \hat{A}_I(\tau)$

onde $H = H_0 + V$. O "truque" é simplesmente fazer $t \rightarrow -i\tau$ (imaginário)

A partir daí, podemos definir o "operador de evolução temporal imaginária"

$$\hat{A}_H^{\pm}(-i\tau) \hat{B}_H^{\pm}(-i\tau') = \hat{U}(0,\tau) \hat{A}_I^{\pm}(\tau) \hat{U}^{\dagger}(\tau, \tau') \hat{B}_I^{\pm}(\tau') \hat{U}^{\dagger}(\tau', 0)$$

sendo $\hat{U}(\tau, \tau') = e^{\frac{H_0\tau}{2}} e^{-\frac{H_0(\tau-\tau')}{2}} e^{-\frac{H(\tau-\tau')}{2}}$ e $\hat{O}_H^{\pm}(-i\tau) = U(0,\tau) \hat{O}_I^{\pm}(\tau) U^{\dagger}(\tau, 0)$

e valem todas as propriedades de $U(\tau, \tau')$ (unitariedade, etc)

$$1. \quad U(\tau_0, \tau_0) = \mathbb{1}$$

$$2. \quad U^{\dagger}(\tau, \tau_0) U(\tau, \tau_0) = \mathbb{1}$$

$$3. \quad U(\tau, \tau_0) U(\tau_0, \tau) = \mathbb{1} \Rightarrow U(\tau_0, \tau) = U^{\dagger}(\tau, \tau_0)$$

$$4. \quad U(\tau_1, \tau_2) U(\tau_2, \tau_3) = U(\tau_1, \tau_3)$$

↳ formam um grupo.

(3)

Com isso, podemos utilizar os resultados obtidos na Rep. de Interacção, particularmente:

$$\frac{\partial}{\partial \tau} U(\tau, \tau_0) = e^{\beta H_0} \underbrace{(H_0 - H)}_{-H_1} e^{-H(\tau-\tau_0)} e^{-H\tau_0} = - \underbrace{e^{-H_1\tau}}_{H_1^T(\tau)} \underbrace{e^{-H_0\tau}}_{U(\tau, \tau_0)} \underbrace{e^{-H(\tau-\tau_0)}}_{e^{-H\tau}}$$

$$\Rightarrow \frac{\partial}{\partial \tau} U(\tau, \tau_0) = - H_1^T(\tau) U(\tau, \tau_0) \Rightarrow U(\tau, \tau_0) = \boxed{1 - \int_{\tau_0}^{\tau} H_1^T(\tau') U(\tau', \tau_0) d\tau'}$$

ou seja, repetindo as passagens do caso de tempo real:

$$U(\tau, \tau_0) = \sum_{n=0}^{\infty} \frac{1}{n!} (-1)^n \int_{\tau_0}^{\tau} d\tau_1 \dots \int_{\tau_0}^{\tau} d\tau_n T_{\tau} (H_1^T(\tau_1) \dots H_1^T(\tau_n)) \quad (I)$$

onde $T_{\tau} (A_I(\tau) B_I(\tau')) = \begin{cases} A_I(\tau) B_I(\tau') & \tau > \tau' \\ \pm B_I(\tau') A_I(\tau) & \tau' > \tau \end{cases}$

\rightarrow BOSONS
 \rightarrow FERMIONS (ou no caso de porm. de esp. fermionicos)

e é o operador de ordenamento temporal.

Com isso, o operador densidade $\hat{\rho} = e^{-\beta \hat{H}}$ pode ser escrito em termos de $U(\tau, \tau_0)$ e, portanto, na forma (I). Isso pois: $e^{-\beta \hat{H}} = \hat{e}^{-\beta H_0} U(\beta, 0)$

Já que $U(\beta, 0) = e^{\beta H_0} e^{-\beta H}$ pela definição. Assim, calculando vira assim:

$$\begin{aligned} \langle T_{\tau} (A_H(\tau) B_H(\tau')) \rangle &= \frac{1}{2} \text{Tr} \left\{ e^{-\beta H} A_H(\tau) B_H(\tau') \right\} \quad \tau > \tau' \rightarrow \text{fazemos esse inter.} \\ &= A_H(t=-i\tau) \\ &= \frac{1}{2} \text{Tr} \left\{ e^{-\beta H_0} \underbrace{U(\beta, 0) U(0, \tau) A_I(\tau) U(\tau, \tau') B_I(\tau') U(\tau', 0)}_{A_I(\tau) B_I(\tau')} \right\} \\ &= \frac{1}{2} \text{Tr} \left\{ e^{-\beta H_0} U(\beta, \tau) A_I(\tau) U(\tau, \tau') B_I(\tau') U(\tau', 0) \right\} \end{aligned}$$

Note que, sendo $U(\tau, \tau') \propto T_{\tau} (H_1^T(\tau_1) \dots H_1^T(\tau_n))$ com $\tau' < (\tau_1, \dots, \tau_n) < \tau$. Assim:

$$\begin{aligned} U(\beta, \tau) A_I(\tau) U(\tau, \tau') B_I(\tau') U(\tau', 0) &= T_{\tau} (U(\beta, \tau) A_I(\tau) U(\tau, \tau') B_I(\tau') U(\tau', 0)) = \\ &= T_{\tau} (U(\beta, \tau) U(\tau, \tau') U(\tau', 0) A_I(\tau) B_I(\tau')) = T_{\tau} (U(\beta, 0) A_I(\tau) B_I(\tau')) \end{aligned}$$

(note que não mudamos a ordem de A e B dentro de $T_{\tau}(\dots)$)

(4)

Se tivéssemos $\tau' > \tau$, chegariamos em um resultado parecido:

$$\langle T_\tau (A_n(\tau) B_m(\tau')) \rangle = \frac{1}{Z} \text{Tr} \left\{ e^{-\beta H_0} U(\beta, \tau') A_n(\tau) B_m(\tau') \right\}$$

Novamente:

$$+ \pm U(\beta, \tau') B_I(\tau') U(\tau', \tau) A_I(\tau) U(\tau, 0) = T_\tau (\pm U(\beta, \tau') B_I(\tau') U(\tau', \tau) A_I(\tau) U(\tau, 0)) =$$

$$\begin{aligned} & \text{(trocou a ordem} \\ & \text{de } A \text{ e } B \Rightarrow \pm) \rightarrow = T_\tau (U(\beta, \tau') U(\tau', \tau) U(\tau, 0) A_I(\tau) B_I(\tau)) = \end{aligned}$$

$$\boxed{\text{valor esperado sobre estado de H}} \quad = T_\tau (U(\beta, 0) A_I(\tau) B_I(\tau)) \quad \text{logo:}$$

$$\downarrow \quad \langle T_\tau (A_n(\tau) B_m(\tau')) \rangle = \frac{1}{\text{Tr} \{ e^{-\beta H_0} \}} \cdot \text{Tr} \left\{ e^{-\beta H_0} T_\tau (U(\beta, 0) A_I(\tau) B_I(\tau)) \right\}$$

$$\begin{aligned} & \frac{\text{Tr} \{ e^{-\beta H_0} T_\tau (U(\beta, 0) A_I(\tau) B_I(\tau')) \}}{\text{Tr} \{ e^{-\beta H_0} U(\beta, 0) \}} = \frac{\langle T_\tau (U(\beta, 0) A_I(\tau) B_I(\tau')) \rangle}{\langle U(\beta, 0) \rangle_0} \\ & = \end{aligned}$$

Funções de Correlações de Matsubara: são definidas por:

$$C_{AB}(\tau, \tau') \equiv -\langle T_\tau (A(\tau) B(\tau')) \rangle = -\langle \Theta(\tau - \tau') A(\tau) B(\tau') + \Theta(\tau' - \tau) B(\tau') A(\tau) \rangle$$

com $A(\tau)$ e $B(\tau')$ escritos na rep de Heisenberg: $A(\tau) = e^{\frac{H\tau}{2}} A e^{-\frac{H\tau}{2}}$. Note que:
 $(A(t=-i\tau))$

$$1) C'_{AB}(\tau, \tau') = -\langle T_\tau (A(\tau - \tau') B(0)) \rangle = C'_{AB}(\tau - \tau')$$

Prova: da propriedade cíclica do traço, temos: (diganos, $\tau > \tau'$):

$$\text{Tr} \{ e^{-\beta H} e^{\frac{H\tau}{2}} A e^{-\frac{H(\tau-\tau')}{2}} B e^{-\frac{H\tau'}{2}} \} = \text{Tr} \{ e^{-\beta H} e^{\frac{H\tau'}{2}} e^{-\beta H} e^{\frac{H\tau}{2}} A e^{-\frac{H(\tau-\tau')}{2}} B \}$$

$$= \text{Tr} \{ e^{-\beta H} e^{\underbrace{+\frac{H(\tau-\tau')}{2}}_{(A)}} A e^{-\frac{H(\tau-\tau')}{2}} B \} = \text{Tr} \{ e^{-\beta H} A(\tau - \tau') B(0) \}, \quad \underline{\text{C.Q.D.}}$$

Similar para $\tau' > \tau$.

(5)

2) Para garantir a convergência, $\boxed{\beta > |\tau - \tau'|}$

Prova: escrevendo $G_{AB}(\tau - \tau')$ na Rep de Lehmann; temos: $(H|m\rangle = E_m |m\rangle)$

$$\begin{aligned} \tau > \tau': G_{AB}(\tau - \tau') &= \left(\frac{1}{2}\right) \text{Tr} \left\{ e^{-(\beta - (\tau - \tau')) H} A e^{-(\tau - \tau') H} B \right\} = \\ &= \left(\frac{1}{2}\right) \sum_{m, m'} e^{-(\beta - (\tau - \tau')) E_m} e^{-E_{m'}(\tau - \tau') H} \langle m | A | m' \rangle \langle m' | B | m \rangle \end{aligned}$$

$e^{-(\beta - (\tau - \tau')) E_m} < 1 \Rightarrow \boxed{\beta > (\tau - \tau')}$

Para garantir convergência para todo E_m , e

$$\begin{aligned} \tau < \tau': G_{AB}(\tau - \tau') &= \pm \text{Tr} \left\{ e^{-(\beta + (\tau - \tau')) H} B e^{-(\tau - \tau') H} A \right\} \times \left(-\frac{1}{2}\right) \\ &= \pm \left(\frac{1}{2}\right) \sum_{m, m'} e^{-(\beta + (\tau - \tau')) E_m} e^{-E_{m'}(\tau - \tau') H} \langle m | B | m' \rangle \langle m' | A | m \rangle \end{aligned}$$

Mesma coisa: $e^{-(\beta - (\tau - \tau')) E_m} < 1 \Rightarrow \beta > \tau' - \tau$ ou $\boxed{-\beta < \tau - \tau'}$

em geral $\boxed{-\beta < \tau - \tau' < \beta}$ ou $\beta > |\tau - \tau'|$ C.Q.D.

3) $\boxed{G_{AB}(-|\tau|) = \pm G_{AB}(\beta - |\tau|)}$ ou $\boxed{G'_{AB}(\tau) = \pm G_{AB}(\beta + \tau)}$ p/ $\tau < 0$ II

$$\begin{aligned} \text{Prova: } G'_{AB}(-|\tau|) &= \left(-\frac{1}{2}\right) \pm \text{Tr} \left\{ e^{-(\beta - |\tau|) H} B e^{-|\tau| H} A \right\} = \pm \text{Tr} \left\{ e^{-(\beta - |\tau|) H} B e^{-|\tau| H} e^{\beta H} e^{-\beta H} A \right\} \\ &= \left(-\frac{1}{2}\right) \pm \text{Tr} \left\{ e^{-\beta H} e^{H(\beta - |\tau|)} A e^{-H(\beta - |\tau|)} B \right\} = \pm G'_{AB}(\beta - |\tau|) \quad \text{C.Q.D.} \end{aligned}$$

Com essas três propriedades, podemos definir a Transformada de Fourier de função de correlações de Matsubara.

Pela propriedade 2), a transformada de Fourier está limitada ao domínio $-\beta < \tau < \beta$, o que implica em frequências quantizadas.

$$\left\{ \begin{array}{l} G_{AB}(n) = \frac{1}{2} \int_{-\beta}^{\beta} d\tau e^{i\bar{n}\tau/\beta} G_{AB}(\tau) \\ G_{AB}(\tau) = \frac{1}{\beta} \sum_{n=-\infty}^{\infty} e^{-i\bar{n}\tau/\beta} G_{AB}'(n) \end{array} \right.$$

Pela propriedade 3), Temos:

$$\int_{-\beta}^0 d\tau' e^{i\bar{n}\tau'/\beta} G_{AB}(\tau') = \pm \int_{-\beta}^0 d\tau' e^{i\bar{n}\tau'/\beta} G_{AB}'(\tau' + \beta) =$$

$$\tau' = \tau + \beta \quad (\tau' = \tau - \beta) \quad = \pm \int_0^\beta d\tau e^{i\bar{n}\tau/\beta} G_{AB}(\tau) \cdot (e^{i\bar{n}\beta}) = \pm e^{-i\bar{n}\beta} \int_0^\beta d\tau e^{i\bar{n}\tau/\beta} G_{AB}(\tau)$$

$$\Rightarrow G_{AB}(n) = \frac{1}{2} (1 \pm e^{-i\bar{n}\beta}) \int_0^\beta d\tau e^{i\bar{n}\tau/\beta} G_{AB}'(\tau) \quad \left\{ \begin{array}{l} + \rightarrow \text{bósons} \\ - \rightarrow \text{férmons} \end{array} \right.$$

Note que o pré-fator será

$$\begin{cases} \text{zero} & \text{se:} \\ & \begin{cases} n \text{ par e férmons (-)} \\ n \text{ ímpar e bósons (+)} \end{cases} \\ 1 & \text{se:} \\ & \begin{cases} n \text{ par e bósons (+)} \quad (n=2m) \quad m=0, \pm 1, \pm 2, \dots \\ n \text{ ímpar e férmons (-)} \quad (n=2m+1) \quad m=0, \pm 1, \pm 2, \dots \end{cases} \end{cases}$$

Logo,

$$G_{AB}'(i\omega_m) = \int_0^\beta d\tau e^{i\omega_m \tau} G_{AB}(\tau) \quad \left\{ \begin{array}{l} \omega_m = \frac{2m\pi}{\beta} \quad \text{para \underline{bósons}} \\ \omega_m = \frac{(2m+1)\pi}{\beta} \quad \text{para férmons} \end{array} \right.$$

onde os ω_m são as chamadas frequências de Matsubara.

Conexão com função de correlações retardada

É nesse ponto em que o formalismo de Matsubara "brilha"

Se escrevermos $G_{AB}(i\omega_m)$ na Rep. de Lehmann ($H|M\rangle = E_M |M\rangle$), temos:

$$\begin{aligned} G_{AB}^r(i\omega_m) &= \int_0^\beta dz e^{i\omega_m z} \left(\sum_{MM'} e^{-\beta E_M} e^{-(E_M - E_{M'})z} \langle M|A|M'\rangle \langle M'|B|M\rangle \right) \times \left(-\frac{1}{z} \right) \\ &= -\frac{1}{Z} \sum_{MM'} e^{-\beta E_M} \underbrace{\langle M|A|M'\rangle \langle M'|B|M\rangle}_{i\omega_m + E_M - E_{M'}} \cdot \left(e^{\frac{i\omega_m \beta}{2}} \cdot e^{\frac{(E_M - E_{M'})\beta}{2}} - 1 \right) \end{aligned}$$

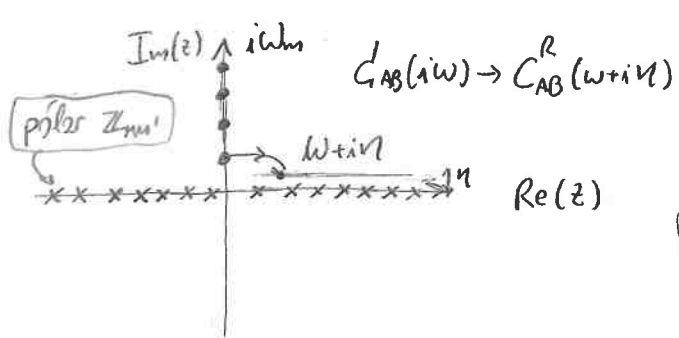
$$G_{AB}^r(i\omega_m) = \frac{1}{Z} \sum_{MM'} \frac{\langle M|A|M'\rangle \langle M'|B|M\rangle}{i\omega_m + (E_M - E_{M'})} \left(e^{-\beta E_M} \mp e^{-\beta E_{M'}} \right) \quad (\text{Matsubara})$$

Comparando com a Transformada de Fourier de $C_{AB}^R(t) = -i\Theta(t-t') \langle A(t) B(t') \rangle$

$$C_{AB}^R(\omega) = \frac{1}{Z} \sum_{MM'} \frac{\langle M|A|M'\rangle \langle M'|B|M\rangle}{\omega + i\eta + (E_M - E_{M'})} \left(e^{-\beta E_M} \mp e^{-\beta E_{M'}} \right) \quad \begin{cases} - \text{Bósons} \\ + \text{Fermions} \end{cases}$$

(Vide "função de Green")

Vemos que $C_{AB}^R(\omega)$ é uma continuação analítica de $G_{AB}^r(i\omega_m)$ com $i\omega_m \rightarrow \omega + i\eta$



$$C_{AB}^R(\omega + i\eta) = G_{AB}^r(i\omega_m \rightarrow \omega + i\eta)$$

Ou seja, definimos uma função $C_{AB}(z)$:

$$C_{AB}(z) = \frac{1}{Z} \sum_{MM'} \frac{\langle M|A|M'\rangle \langle M'|B|M\rangle}{z + (E_M - E_{M'})} \left(e^{-\beta E_M} \mp e^{-\beta E_{M'}} \right)$$

com pôlo em $Z_{Mm'} = E_{M'} - E_M$ no eixo real, mas analítica nos meios-planos superior e inferior. Assim, desde que nenhuma se cruce o eixo "x", sempre podemos encontrar a continuação analítica $C_{AB}(z=i\omega_m) \rightarrow C_{AB}(z=\omega+i\eta)$

Funções de Green de Matsubara

A função de Green de partícula única $G_{\sigma\sigma'}(\vec{r}\tau, \vec{r}'\tau')$ é um caso particular de funções de correlação de Matsubara a tempo imaginário:

$$G_{\sigma\sigma'}(\vec{r}\tau, \vec{r}'\tau') = -\langle T_\tau (\Psi_\sigma(\vec{r}, \tau) \Psi_{\sigma'}^\dagger(\vec{r}', \tau')) \rangle \quad (\text{espaço real})$$

$$G_{vv'}(\tau, \tau') = -\langle T_\tau (C_v(\tau) C_{v'}^\dagger(\tau')) \rangle \quad (\text{representações } \{v\})$$

e podem ser calculadas no caso interagente (via diagramas) ou diretamente no caso não interagente $H = H_0 = \sum_v E_v C_v^\dagger C_v$. Fazendo esse:

$$C_v(\tau) = e^{\frac{\tau H_0}{\beta}} C_v e^{-\frac{\tau' H_0}{\beta}}$$

$$\Rightarrow G_{vv'}^{(0)}(\tau - \tau') = -\langle T_\tau (C_v(\tau) C_{v'}^\dagger(\tau')) \rangle = -\frac{1}{\beta} \text{Tr} \left(e^{-\beta H_0} T_\tau \left(e^{\frac{\tau H_0}{\beta}} e^{-H_0 \tau} e^{\frac{\tau' H_0}{\beta}} C_{v'}^\dagger e^{-H_0 \tau'} \right) \right),$$

Usando a fórmula de Baker-Hausdorff: $e^A B e^{-A} = B + [A, B] + \frac{1}{2!} [A, [A, B]] + \dots$ mostramos que:

$$\begin{aligned} e^{\frac{\tau H_0}{\beta}} C_v e^{-\frac{\tau H_0}{\beta}} &= e^{-\epsilon_v \tau} C_v \\ e^{\frac{\tau' H_0}{\beta}} C_{v'}^\dagger e^{-\frac{\tau' H_0}{\beta}} &= e^{+\epsilon_{v'} \tau'} C_{v'}^\dagger \end{aligned}$$

Prova: $C_{v''}^\dagger C_v = \mp \delta_{vv''} \pm C_v C_{v''}^\dagger \quad (F)$

$$\text{Como } H_0 C_v = \sum_{v''} \underbrace{E_{v''} C_{v''}^\dagger C_{v''} C_v}_{(\pm 1)} = (-1) \sum_{v''} E_{v''} \delta_{vv''} C_{v''} + C_v \sum_{v''} E_{v''} C_{v''}^\dagger C_{v''} = -\epsilon_v C_v + C_v H_0$$

$$[H_0, C_v] = -\epsilon_v C_v \Rightarrow e^{\frac{\tau H_0}{\beta}} C_v e^{-\frac{\tau H_0}{\beta}} = C_v + C_v (-\tau \epsilon_v) + C_v \frac{(-\tau \epsilon_v)^2}{2!} + \dots = \underline{e^{-\epsilon_v \tau} C_v} \quad // \quad C.Q.D.$$

(mesma coisa p/ $e^{\frac{\tau' H_0}{\beta}} C_{v'}^\dagger e^{-\frac{\tau' H_0}{\beta}}$)

De modo que

$$G_{vv'}^{(0)}(\tau - \tau') = \left(-\frac{1}{\beta} \right) \text{Tr} \left(e^{-\beta H_0} (\Theta(\tau - \tau') e^{-\epsilon_v(\tau - \tau')} C_v C_{v'}^\dagger + \Theta(\tau' - \tau) e^{+\epsilon_{v'}(\tau' - \tau)} C_{v'}^\dagger C_v) \right)$$

$$= -[\Theta(\tau - \tau') \langle C_v C_{v'}^\dagger \rangle + \Theta(\tau' - \tau) \langle C_{v'}^\dagger C_v \rangle] e^{-\epsilon_v(\tau - \tau')}$$

+ → Bosons
- → Fermions

Conforme mostrado em Lista de Exercícios, temos que:

$$\left\{ \begin{array}{l} \langle c_\nu^\dagger c_\nu \rangle = n_{F(B)}(\varepsilon_\nu) \quad \text{onde } N_{F(B)} = (e^{\frac{\beta \varepsilon_\nu}{k_B T}} + 1)^{-1} \\ \langle c_\nu c_\nu^\dagger \rangle = 1_{(+)} \quad \langle c_\nu^\dagger c_\nu \rangle = 1_{(-)} N_{F(B)}(\varepsilon_\nu) \end{array} \right.$$

+ \rightarrow Férnion
- \rightarrow Bósons

$$\Rightarrow G_{\nu\nu}^{(0)}(\tau - \tau') = - \left[\Theta(\tau - \tau') (1_{(+)} N_{F(B)}(\varepsilon_\nu)) - \Theta(\tau' - \tau) N_{F(B)}(\varepsilon_\nu) \right] e^{-\varepsilon_\nu(\tau-\tau')}$$

Fazendo a transformada de Fourier para frequência, temos:

$$\begin{aligned} G_{\nu\nu}^{(0)}(i\omega_m) &= \int_0^\beta d\tau e^{i\omega_m \tau} G_{\nu\nu}(\tau - 0) = - \int_0^\beta d\tau e^{i\omega_m \tau} (1_{(+)} N_{F(B)}(\varepsilon_\nu)) e^{-\varepsilon_\nu \tau} \\ &= - (1_{(+)} N_{F(B)}(\varepsilon_\nu)) \int_0^\beta e^{(i\omega_m - \varepsilon_\nu)\tau} d\tau = - \frac{(1_{(+)} N_{F(B)}(\varepsilon_\nu)) (e^{i\omega_m \beta} e^{-\varepsilon_\nu \beta})}{i\omega_m - \varepsilon_\nu} \end{aligned}$$

Note que, para bósons $\omega_m = \frac{2m\pi}{\beta} \Rightarrow \omega_m \beta = 2m\pi \Rightarrow e^{i\omega_m \beta} = +1$ logo,

$$(1 + N_B(\varepsilon_\nu)) (e^{-\varepsilon_\nu \beta} - 1) = \left(1 + \frac{1}{e^{\beta \varepsilon_\nu} - 1}\right) \cdot (1 - e^{-\beta \varepsilon_\nu}) (-1) = \frac{1 - e^{-\beta \varepsilon_\nu}}{1 - e^{-\beta \varepsilon_\nu}} \cdot \frac{e^{-\beta \varepsilon_\nu}}{e^{\beta \varepsilon_\nu}} (-1) = -1 //$$

Já para Férnions $\omega_m = (2m+1)\pi/\beta \Rightarrow e^{i\omega_m \beta} = -1$

$$(1 - N_F(\varepsilon_\nu)) (-1) (1 + e^{-\varepsilon_\nu \beta}) = \left(1 - \frac{1}{e^{\beta \varepsilon_\nu} + 1}\right) (1 + e^{-\beta \varepsilon_\nu}) (-1) = \frac{e^{\beta \varepsilon_\nu}}{e^{\beta \varepsilon_\nu}} \cdot \frac{1 + e^{-\beta \varepsilon_\nu}}{1 + e^{-\beta \varepsilon_\nu}} (-1) = -1 //$$

Logo:

$$G_{\nu\nu}^{(0)}(i\omega_m) = \frac{1}{i\omega_m - \varepsilon_\nu}$$

$$\omega_m = \begin{cases} 2m\pi/\beta & \rightarrow \text{bósons} \\ (2m+1)\pi/\beta & \rightarrow \text{Férnions} \end{cases}$$

para $H_0 = \sum_\nu \varepsilon_\nu c_\nu^\dagger c_\nu //$

Somar sobre frequências de Matsubara

Como as funções de Green de Matsubara são temporalmente ordenadas, podemos utilizar todo o arcabouço matemático do Teorema de Wick e diagramas de Feynman para calcular séries perturbativas. Isso vai levar a somar sobre frequências de Matsubara do tipo:

$$S_2(v_1, v_2, i\omega_m, \tau) = \frac{1}{\beta} \sum_{iK_m} G_{v_1}^{(0)}(iK_m) G_{v_2}^{(0)}(iK_m + i\omega_m) e^{iK_m \tau} \quad (\tau > 0)$$

Para calcular essas somas, é útil usar resultados para somas do tipo:

$$\left\{ \begin{array}{l} S^F(\tau) = \frac{1}{\beta} \sum_{iK_m} g(iK_m) e^{iK_m \tau} \\ iK_m = (2m+1)\pi/\beta \rightarrow \text{férnions} \end{array} \right.$$

$$\left. \begin{array}{l} S^B(\tau) = \frac{1}{\beta} \sum_{i\omega_m} g(i\omega_m) e^{i\omega_m \tau} \\ i\omega_m = 2m\pi/\beta \rightarrow \text{bósons} \end{array} \right.$$

para $\tau > 0$. Usaremos o seguinte "truque": consideraremos $S^{F(B)}(\tau)$ como soma de resíduos resultante de integrais no plano complexo. Para isso, precisamos de funções $N_{F(B)}(z)$ que tenham pôlos em $z_o^F = iK_m$ e $z_o^B = i\omega_m$. Não por acaso:

$$\left\{ \begin{array}{l} N_F(z) = \frac{1}{e^{\beta z} + 1} \quad \text{pôlos em } z_o^F = i\frac{(2m+1)\pi}{\beta} = iK_m \\ N_B(z) = \frac{1}{e^{-\beta z} - 1} \quad \text{pôlos em } z_o^B = i\frac{2m\pi}{\beta} = i\omega_m \quad \text{com resíduos:} \end{array} \right.$$

$$\left\{ \begin{array}{l} \text{Res } N_F(z=z_o^F) = \lim_{z \rightarrow z_o^F} (z - z_o^F) N_F(z) = \lim_{z \rightarrow iK_m} \frac{(z - iK_m) N_F(z)}{e^{\beta z} + 1} \stackrel{(L'Hopital)}{=} \lim_{z \rightarrow iK_m} \frac{1}{\beta e^{\beta z}} = -\frac{1}{\beta} \\ \text{Res } N_B(z=z_o^B) = \lim_{z \rightarrow z_o^B} (z - z_o^B) N_B(z) = \lim_{z \rightarrow i\omega_m} \frac{(z - i\omega_m) N_B(z)}{e^{-\beta z} - 1} \stackrel{(L'Hopital)}{=} \lim_{z \rightarrow i\omega_m} \frac{1}{\beta e^{-\beta z}} = +\frac{1}{\beta} \end{array} \right.$$

(11)

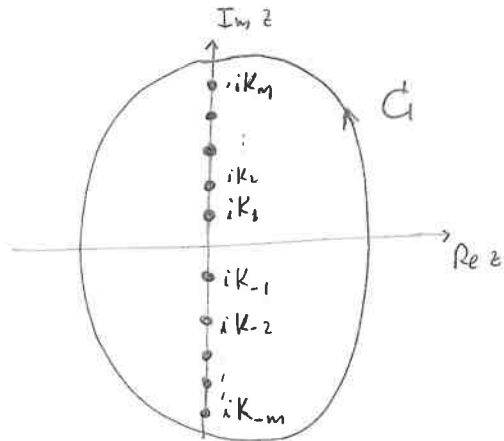
Escrevermos então as somas como integrais no plano complexo:

$$\left\{ \begin{array}{l} 2\pi i \sum_{\substack{\text{Res} \\ z_0 = ik_m}} (g(z) n_F(z) e^{z\tau}) = \int_C n_F(z) g(z) e^{z\tau} dz = 2\pi i \sum_{ik_m} \left(-\frac{1}{\beta}\right) g(ik_m) e^{ik_m \tau} \\ \\ 2\pi i \sum_{\substack{\text{Res} \\ z_0 = iw_m}} (g(z) n_B(z) e^{z\tau}) = \int_C n_B(z) g(z) e^{z\tau} dz = 2\pi i \sum_{iw_m} \left(+\frac{1}{\beta}\right) g(iw_m) e^{iw_m \tau} \end{array} \right.$$

Logo

$$\boxed{S^F(\tau) = - \int_C \frac{dz}{2\pi i} n_F(z) g(z) e^{z\tau}}$$

$$\boxed{S^B(\tau) = + \int_C \frac{dz}{2\pi i} n_B(z) g(z) e^{z\tau}}$$



desde que $g(z)$ seja analítica no contorno C .

contorno que engloba os polos ik_m (iw_m).

Casos em que $g(z)$ não é analítica (mais comuns)

1) $g(z)$ tem polos simples em $z^0 = z_{0j}$ (por exemplo, função de Green)

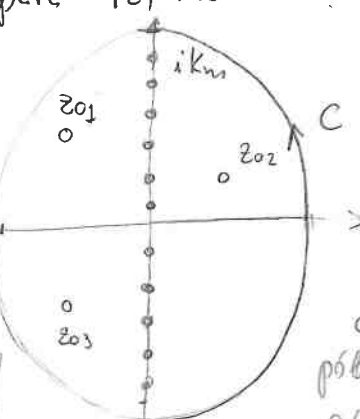
$$g(z) = \prod_j \frac{1}{(z - z_{0j})} \quad \text{sendo que } g(|z|) \rightarrow 0 \text{ para } |z| \rightarrow \infty$$

Nesse caso

$$\oint_C \frac{dz}{2\pi i} n_F(z) g(z) e^{z\tau} = 0 \quad \text{p/ } C_\infty : z_c = Re^{i\theta} \quad R \rightarrow \infty$$

pois, como $0 < \tau < \beta$, mesmo

$$n_F(z) e^{z\tau} = \frac{e^{-\beta z}}{1 + e^{-\beta z}} \rightarrow 0 \quad \text{p/ } |z| \rightarrow \infty$$



contorno engloba
polos de $n_F(z) e^{z\tau}$

$$\text{Logo: } \oint_C \frac{dz}{2\pi i} n_F(z) g(z) e^{z\tau} = \sum_{ik_m} \left(-\frac{1}{\beta}\right) g(ik_m) e^{ik_m \tau} + \sum_j \text{Res}_{z=z_{0j}} [g(z)] n_F(z_{0j}) e^{z_{0j} \tau} = 0$$

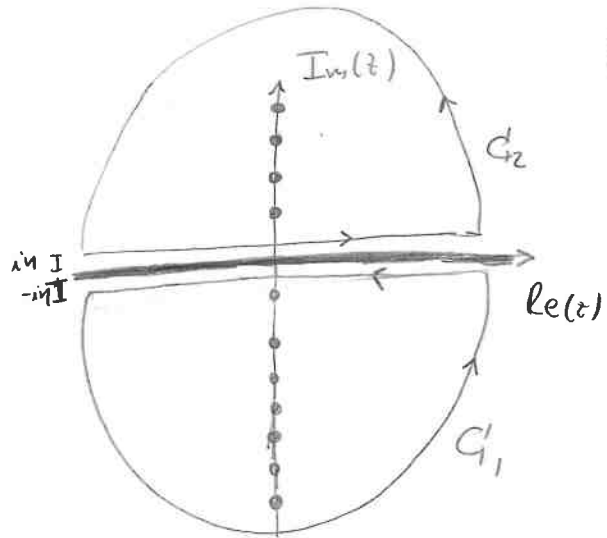
Caso

$$\Rightarrow S^{F(B)}(\tau) = \sum_j \text{Res}[g(z)] n_{F(B)}(z_{0j}) e^{z_{0j} \tau}$$

← soma sobre resíduos dos polos
de $g(z)$

2) $g(z)$ tem "branch cuts" (contínuas).

Digamos agora que $g(z)$ seja analítica no plano complexo inteiro exceto no eixo real (exemplo: uma função de Green com energias contínuas e níveis discretos)



Nesse caso, podemos escolher $C = C_1 + C_2$ onde C_1 e C_2 são contorno que não contêm o eixo $\text{Re}(z)$ mas que cobrem os setores $\text{Im}(z) < 0$ e $\text{Im}(z) > 0$ respectivamente. (englobando os pôlos de $\text{N}_{F(B)}(z)$). Fica claro então que:

$$(z>0) \quad S^{F(B)}(\tau) = \frac{1}{\beta} \sum_{ikn} g(ikn) e^{ikn\tau} = (+) \int_{C_1+C_2} \frac{d\zeta}{2\pi i} N_{F(B)}(\zeta) g(\zeta) e^{\zeta\tau}$$

$$= (+) \frac{1}{2\pi i} \int_{-\infty}^{\infty} d\epsilon N_{F(B)}(\epsilon) [g(\epsilon+i\eta) - g(\epsilon-i\eta)] e^{\epsilon\tau} \quad (\text{para } n \rightarrow 0^+)$$

$\epsilon = \text{Re}(\zeta)$

Se $g(z)$ for uma função de Green de Matsubara, então $\begin{cases} g(z \rightarrow w+i\eta) = g^R(w+i\eta) \\ g(z \rightarrow w-i\eta) = g^A(w-i\eta) \end{cases}$

Como vimos anteriormente, na rep de frequência $[g^A(w)]^* = g^R(w)$ de modo que

$$g^R(w) - g^A(w) = g^R(w) - (g^R(w))^* = +2i \text{Im}(g^R(w)) = -2\pi i A(w) \quad \text{onde}$$

$A(w) = -\frac{1}{\pi} \text{Im}(g^R(w))$ é a densidade espectral. Assim, $S^F(\tau)$ será dado por

$$\boxed{S^{F(B)}(\tau) = (+) \int_{-\infty}^{\infty} d\epsilon N_{F(B)}(\epsilon) A(\epsilon) e^{\epsilon\tau}}$$

Note que se $g(z) = G(z)$ com $G(\tau - \tau') = -T_\tau \langle c_\nu(\tau) c_\nu^+(\tau') \rangle$ então: (p/ fermions)

$$\langle c_\nu^+ c_\nu \rangle = G_\nu(0^+) = \frac{1}{\beta} \sum_{ikn} G_\nu(ikn) e^{-ikn0^+} = S^F(0^+) = + \int_{-\infty}^{\infty} d\epsilon N_F(\epsilon) A_\nu(\epsilon)$$

onde $A_\nu(\epsilon) = -\frac{1}{\pi} \text{Im}(G_\nu^R(\epsilon))$

ocupações do nível ν

(*) Vide Rep. de Lehmann de $g^A(w)$!

Diagramas de Feynman para funções de Matsubara

Voltamos agora à expressão para a função de Green de Matsubara na Rep de Interacção: para $H = H_0 + H_1$:

$$G_{dd'}(\vec{r}\tau, \vec{r}'\tau') = \frac{\text{Tr} \left\{ e^{-\beta H_0} U(\beta, \tau) \psi_\sigma^\dagger(\vec{r}\tau) U(\tau, \tau') \psi_{\sigma'}(\vec{r}'\tau') U(\tau', 0) \right\}}{\text{Tr} \left\{ e^{-\beta H_0} U(\beta, 0) \right\}} =$$

$$= - \frac{\langle U(\beta, \tau) \psi_\sigma^\dagger(\vec{r}\tau) U(\tau, \tau') \psi_{\sigma'}^\dagger(\vec{r}'\tau') U(\tau', 0) \rangle_o}{\langle U(\beta, 0) \rangle_o}$$

A estrutura é muito parecida com a da função de Green no tempo real e $T=0$ vista anteriormente:

$$G_{dd'}^{T=0}(\vec{r}t, \vec{r}'t') = -i \frac{\langle \bar{\phi}_o | U_n(\infty, t) \psi_\sigma(\vec{r}, t) U_n(t, t') \psi_{\sigma'}^\dagger(\vec{r}', t') U_n(t', -\infty) | \bar{\phi}_o \rangle}{\langle \bar{\phi}_o | U_n(\infty, -\infty) | \bar{\phi}_o \rangle}$$

onde $|\bar{\phi}_o\rangle$ é o estado fundamental de H_0 sendo $H = H_0 + e^{-iHt} H_1$.

De facto, podemos usar todos os "trucos" usados para expandir $G_{dd'}^{T=0}(\vec{r}t, \vec{r}'t')$ em uma série diagramática e fazer o mesmo com $G_{dd'}(\vec{r}\tau, \vec{r}'\tau')$. Temos:

$$G_{dd'}(\vec{r}\tau, \vec{r}'\tau') = - \frac{\sum_{n=0}^{\infty} \frac{(-1)^n}{n!} \int_0^\beta d\tau_1 \dots \int_0^\beta d\tau_n \langle T_\tau (H_1(\tau_1) \dots H_1(\tau_n)) \psi_\sigma(\vec{r}\tau) \psi_{\sigma'}^\dagger(\vec{r}'\tau') \rangle_o}{\sum_{n=0}^{\infty} \frac{(-1)^n}{n!} \int_0^\beta d\tau_1 \dots \int_0^\beta d\tau_n \langle T_\tau (H_1(\tau_1) \dots H_1(\tau_n)) \rangle_o} \quad (\beta > \tau, \tau' > 0)$$

e a idéia é, dando uma forma para $H_1(\tau)$, utilizar o Teorema de Wick. Usaremos:

(independente do tempo)

$$H_1 = \frac{1}{2} \int d\vec{r}_1 d\vec{r}_2 \sum_{\alpha\alpha' \beta\beta'} U_{\alpha\alpha'}(\vec{r}_1, \vec{r}_2) \psi_\alpha^\dagger(\vec{r}_1) \psi_\beta^\dagger(\vec{r}_2) \psi_\beta(\vec{r}_2) \psi_{\alpha'}(\vec{r}_1)$$

$X = (\vec{r}, \tau) \quad (\tau = -it)$

$$e \quad U_{\alpha\alpha'}(X_1, X_2) = U_{\alpha\alpha'}(\vec{r}_1, \vec{r}_2) \delta(\tau_1 - \tau_2)$$

Com essas definições para $U_{\alpha\beta}(\vec{r}, \vec{r}', \tau)$, podemos escrever:

$$\int_0^\beta d\tau_j H_i(\tau_j) = \frac{1}{2} \int dx_j dx'_j \Psi_{\alpha_j}^*(x_j^+) \Psi_{\alpha_j'}^*(x_j'^+) U_{\alpha_j \alpha_j'}(x_j, x_j') \Psi_{\alpha_j'}(x_j') \Psi_{\alpha_j}(x_j)$$

onde $\int dx_j = \sum_{\alpha_j} \int_0^\beta d\tau_j \int d\vec{r}_j$ (assumindo que U conserva o spin $\alpha_j \rightarrow \alpha_j$
 $\alpha_j' \rightarrow \alpha_j'$)

Note que a integral no tempo vai de 0 a β . O último passo é usar o Teorema de Wick para "quebrar" os valores esperados de ordenamentos temporais em pares. Isso é feito de forma análoga ao caso $T=0$. Assim:

$$G_{\alpha\beta}(x, x') = \left(\text{Diagrama sem interação} + \text{Diagrama com 1 loop} + \text{Diagrama com 2 loops} + \dots \right) \times \left(1 + \text{Diagrama com 1 loop} + \text{Diagrama com 2 loops} + \dots \right) = \langle U(\beta, 0) \rangle$$

onde os diagramas não conectados "cancelam", e $G_{\alpha\beta}(x, x')$ depende apenas das "conectadas".

As "regras" continuam idênticas, com a diferença (importante) que

$$\int_{-\infty}^{\infty} dt \rightarrow \int_0^\beta d\tau$$

1) Desenhe todos os diagramas topologicamente distintos c/ n linhas de interação com início em (x, σ) e final em (x, σ) . Associe (x_j, α_j) a os 2n vértices

2) Linhas de interações: $x_j \quad x_j' \equiv -U_{\alpha_j \alpha_j'}(x_j, x_j')$.

Linhas de propagações

$$x_2 \quad x_1 \equiv G_{\alpha_2 \alpha_1}^0(x_2, x_1) \quad (\tau_2 \rightarrow \tau_1 + \eta)$$

3) Loops fechadas fermionicas: $(-1)^F \rightarrow F$ número de circuitos fechados.

4) Some sobre todos os diagramas, ordem a ordem.

Diagramas de Feynman no espaço de momentos e frequências de Matsubara $G_{\sigma\sigma}(\vec{k}, i\omega_n)$

Novamente, a analogia com o caso a $T=0$ é grande. A grande diferença vem da transformada de Fourier no tempo, que dá origem às frequências de Matsubara. A interação Coulombiana fica escrita na forma

$$U(\vec{r}_1 \tau_1, \vec{r}_2 \tau_2) = \frac{1}{V} \sum_{\vec{q}} \frac{1}{\beta i q_n} U(\vec{q}, i q_n) e^{i[\vec{q} \cdot (\vec{r}_1 - \vec{r}_2) - i q_n (\tau - \tau')]}.$$

É importante notar que $i q_n = 2\pi n / \beta$ são bosónicas uma vez que a função de correlação de Matsubara correspondente envolve pares de operadores fermionicos que obedecem à estatística de Bose-Einstein. No limite contínuo, obtém

$$U(x_1, x_2) = \int \frac{d^3 p}{(2\pi)^3} \left(\frac{1}{\beta} \sum_{i q_n} \right) U(\vec{q}, i q_n) e^{i \vec{q} \cdot (x_1 - x_2)} \quad [q \cdot x = \vec{q} \cdot \vec{x} - i q_n \tau]$$

As funções de Green livres ficam:

$$G_{\sigma\sigma}^{(0)}(\vec{r}\tau, \vec{r}'\tau') = \left(\frac{1}{V} \sum_{\vec{k}} \right) \left(\frac{1}{\beta} \sum_{i k_n} G_{\sigma\sigma}^{(0)}(\vec{k}, i k_n) e^{i \vec{k} \cdot (\vec{r} - \vec{r}') - i k_n (\tau - \tau')} \right). \text{ Logo, em cada vértice temos:}$$

EXEMPLO:

$$= \int d^4 x' G_{\sigma\sigma}^{(0)}(x', x_1) G_{\sigma\sigma}^{(0)}(x_2, x') U(x_3, x') =$$

$$= \int \frac{d^3 k}{(2\pi)^3} \frac{d^3 p}{(2\pi)^3} \frac{d^3 q}{(2\pi)^3} \frac{1}{\beta^3} \sum_{i k_n} \sum_{i p_n} \sum_{i q_n} G_{\sigma\sigma}^{(0)}(K, i k_n) G_{\sigma\sigma}^{(0)}(P, i p_n) U(Q, i q_n) \underbrace{\int d^4 x' e^{i K \cdot (x' - x_1)} e^{i P \cdot (x_2 - x')} e^{i Q \cdot (x_3 - x')}}_{e^{i(K-P-Q) \cdot x'} e^{-i K x_1} e^{i P x_2} e^{i Q x_3}} dx' =$$

(cons. de momento)

$$= \int \frac{d^4 K}{(2\pi)^3 \beta} \frac{d^4 P}{(2\pi)^3 \beta} \frac{d^4 Q}{(2\pi)^3 \beta} G_{\sigma\sigma}^{(0)}(K, i k_n) G_{\sigma\sigma}^{(0)}(P, i p_n) U(Q, i q_n) \underbrace{\left[\int d^4 x' e^{i(K-P-Q) \cdot x'} \right]}_{(2\pi)^3 \delta(K-(P+Q))} e^{-i K x_1} e^{i P x_2} e^{i Q x_3} =$$

$\vec{K} \cdot \vec{q}, i k_n - i q_n$

$$= \int \frac{d^3 K}{(2\pi)^3} \frac{d^3 \vec{q}}{(2\pi)^3} \left(\frac{1}{\beta^2} \sum_{i k_n} \right) G_{\sigma\sigma}^{(0)}(\vec{K}, i k_n) G_{\sigma\sigma}^{(0)}(\vec{K} - \vec{q}, i k_n - i q_n) U(\vec{q}, i q_n) e^{i K \cdot (x_2 - x_1)} e^{i q \cdot (x_3 - x_2)}$$